

2方向を考慮した地震動のシミュレーション法

金沢大学工学部 正員 小堀為雄
 学生員 久保雅邦

1) まえがき

構造物の耐震設計を行ふ場合の動的解析の方法として、代表的な実地震記録が入力として、しばしば用いられるが、最近計算機の進歩とともに、人工的に作成した地震動を用いることも行われるようになつて來た。本研究は、このような人工地震動を用いる場合に、その作成方法として、地震動本来の2方向性を考慮したシミュレーションを行うものである。基本的には定常波形について行つ。

2) 実地震動の2方向性特性の解析

我が国で得られた代表的な強震記録のうち、特に地盤上で記録されたものに限って選択し、その直角2方向の相關性を調べた。用いた記録をTable-1に示す。全記録時間中、計算に用いたのは定常的と考えられる最大加速度を含む10秒間にについて行つた。止むを得ない場合、5~8秒間にについて行つた。原加速度記録を $X(t)$, $Y(t)$ とし、Fig.-1のように座標軸の平行-回転変換により、(1)式となる。

$$\begin{aligned} Y(t) &= \{X(t) - \bar{X}\} \cos\theta + \{Y(t) - \bar{Y}\} \sin\theta \quad \dots\dots(1) \\ Y(t) &= -\{X(t) - \bar{X}\} \sin\theta + \{Y(t) - \bar{Y}\} \cos\theta \end{aligned}$$

従つて、 $X(t)$, $Y(t)$ の分散 σ_x^2 , σ_y^2 相関係数 P_{XY} とするとき、 $X(t)$, $Y(t)$ の分散 σ_x^2 , σ_y^2 は回転角θの関数となる。ここで、 $\sigma_x^2 = \sigma_y^2 = \sigma_0^2$ となるような回転角θは存在し、その時 $X(t)$, $Y(t)$ の相関係数 P_{XY} は(2)式で与えられる。また、相関係数 $P_{XY} = 0$ となるような回転角θ₁とし、 σ_x^2 , σ_y^2 は一方が最大値、他方が最小値となり、それらの間には(3), (4)式の関係がある。

Table-1の各記録につつて、 P_{XY} を計算し、最大値と最小値の比 $m = \sigma_{\max} / \sigma_{\min}$ をみると変数にしてプロットしたのが、次ページのFig-2である。各記録はA-groupとB-groupとに分けられる傾向にあることが示されたが、耐震設計上必要とされる大きい地震動(例えば $a_0 \geq 30 \text{ gal}$)についてのみ考えると、(5)式が近似できる。

$$m = -0.0029\theta_0 + 1.70 \quad \dots\dots(5)$$

(A-groupのみ最小二乗法を用いた。)

Table-1

No.	Record Date	X(t) Y(t)	Acc. Max.	Dur.
1	ITAJIMA-A 43.4.1	Lg Tr	169.88 186.26	40.0
2	ISHIKARI-A 43.5.16	N-S E-W	181.25 174.88	50.0
3	ITAJIMA-B 43.8.6	Lg Tr	360.88 437.50	15.0
4	ISHIKARI-B 43.5.16	N-S E-W	96.88 170.88	50.0
5	HAMAMATSU 40.4.20	Tr Lg	41.50 100.40	20.0
6	ITAJIMA-C 43.4.1	Lg Tr	34.00 36.00	14.0
7	AMAGASAKI 38.3.27	Lg Tr	27.63 35.50	32.0
8	HOROMAN-A 43.5.16	Lg Tr	77.50 52.25	30.0
9	CHIYODA-B 43.5.16	Tr Lg	44.50 31.5.	30.0
10	HOROMAN-B 43.5.16	Tr Lg	42.85 51.79	30.0
11	HIRAI 43.7.1	Tr Lg	48.75 58.13	25.0
12	MATUSIRO-A 41.4.17	N-S E-W	126.50 59.38	18.0
13	MATUSIRO-B 41.5.20	N-S E-W	95.00 97.75	20.5
14	MATUSIRO-C 41.4.5	Tr Lg	133.88 189.00	20.0
15	MATUSIRO-D 41.4.5	N-S E-W	230.37 139.38	25.0
16	CHIYODA-A 43.5.16	Tr Lg	83.50 90.75	30.0
17	ISHISETO 43.4.1	Tr Lg	24.64 25.88	10.0
18	OTANGOSHIGE 43.5.16	Tr Lg	24.40 47.00	50.0
19	NISHIZAWAI 40.5.31	Tr Lg	16.90 21.30	20.0

$$|P_{XY}| = \sqrt{(\sigma_x^2 - \sigma_y^2)^2 + 4P_{XY}^2 \sigma_x^2 \sigma_y^2} \quad \dots\dots(2)$$

$$\sigma_{\max}^2 = (1 + |P_{XY}|) \sigma_0^2 \quad \dots\dots(3)$$

$$\sigma_{\min}^2 = (1 - |P_{XY}|) \sigma_0^2$$

$$2\sigma^2 = \sigma_x^2 + \sigma_y^2, |\theta| - \theta_0 = \frac{\pi}{4} \quad \dots\dots(4)$$

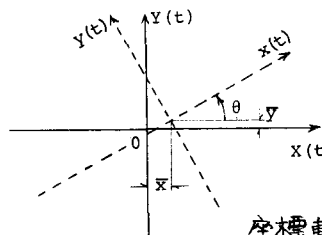


Fig.-1 座標軸変換

回転角 $\theta = \theta_1$ のとき、即ち $P_{xy} = 0$ のときの $x(t)$, $y(t)$ についてのワースペクトル密度関数を求める。傾向を説明する。一例が Fig.-3 である。

それらの結果、 $x(t)$, $y(t)$ の間には全体として、卓越周波数には殆んど一致し、ピークの鏡像が幾分異なるという共通した傾向が見られた。

3) 2方向地震動のシミュレーション

2)の実地震動の解析結果を参考にしつゝ、ここでは相関係数 $P_{xy} = 0$ 、即ち $\theta_1 = 0$ または $\theta_2 = 0$ となるように波形を作成する。基本式としては、Shinozuka らによる (6) 式を用いる。図 3 はシミュレーションされた波形という意味である。

$$x'(t) = \sigma_{\max} \sqrt{2/N} \sum_{k=1}^N \cos(\omega_k t + \phi_k)$$

$$y'(t) = \sigma_{\min} \sqrt{2/N} \sum_{k=1}^N \cos(\omega_k t + \psi_k)$$
(6)

ここで、 ω_k , θ_k はそれぞれ $x(t)$, $y(t)$ のワースペクトル密度関数と相似の確率分布特性を持つ独立乱数であり、 ϕ_k , ψ_k は、お互い独立で、 $[0, 2\pi]$ の一様乱数であり、それは ω_k , θ_k に対する独立である。ワースペクトル密度関数としては、卓越周波数を一致させ、ピークの鏡像の見えるられる (6) 式を採用する。 ω_k , h_k , h'_k が ω - θ 一元化する。以上 2 方法により、必要な 2 方向地震動の分散 σ_x^2 の大きさを決定すれば、(5), (3) 式から σ_{\max} , σ_{\min} が決定され、加速度波形 $x'(t)$, $y'(t)$ が作成できることになる。即ち 理論的には $x'(t)$, $y'(t)$ は 平均値 = 0, 分散 = σ_{\max}^2 , σ_{\min}^2 の独立な高周波ノイズである。従って 相関係数 $P = 0$ となる。さらに、所定の相関係数の大きさを決定する $x(t)$, $y(t)$ を座標軸変換すれば、一般的の 2 方向地震動が得られることになる。また、非対称化は形状関数を用いることによって行える。

4) 考察

2 方向地震動の相関係数は、厳密には、時間遅れ τ を持つ相互相関関数についても考える必要があるが、2 方向入力の場合構造物に作用するものは同時刻であるという意味から、ここでは同一時刻における相関係数のみについて考えた。Fig.-2 において、各記録が明確に A-Group, B-Group に分かれるのは地盤条件や震央距離の影響かと思われる。また、近似式についても、ある程度の幅(バラツキ)を持たせて考えるべきであるが代表的な場合として直線化した。さらに新たに記録を得て考察する必要がある。

計算業務は学部生の石田修君にお願いした。謝意を表す。

(文献) 1. 山田, 菊田: 「関西支部年次研究発表概要集」昭49

2. 星谷: 「確率論手法による振動解析」鹿島出版会。

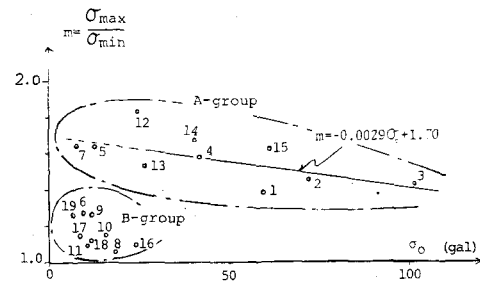


Fig.-2

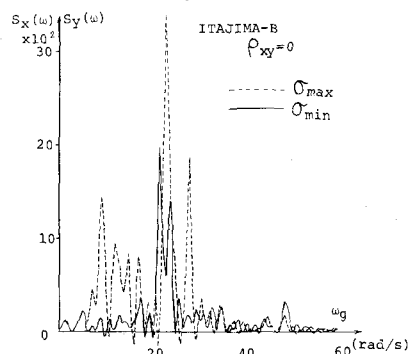


Fig.-3

$$S_{xx}(\omega) = \frac{\sigma_{\max}^2}{\pi \omega g} \cdot \frac{4h_x \cdot (\omega/\omega_g)^2}{\{1 - (\omega/\omega_g)^2\}^2 + 4h_x^2(\omega/\omega_g)^2}$$

$$S_{yy}(\omega) = \frac{\sigma_{\min}^2}{\pi \omega g} \cdot \frac{4h_y \cdot (\omega/\omega_g)^2}{\{1 - (\omega/\omega_g)^2\}^2 + 4h_y^2(\omega/\omega_g)^2}$$
(7)